

Prowadzący instalację:

P4 Sp. z o. o.  
ul. Wynalazek 1  
02-677 Warszawa

Warszawa, 12 gru 2022

Adres do korespondencji:

P4 Sp. z o. o.  
ul. Wynalazek 1,  
02-677 Warszawa

**Urząd Miejski w Białymstoku**  
**Departament Ochrony Środowiska**

## Przedłożenie informacji o zmianie danych w instalacji

o których mowa w przedłożeniu informacji dla BIA1023A z dnia 12 sie 2021

dotyczy: informacji o zmianie w zakresie danych w przedłożeniu informacji dla BIA1023A.

Podstawa prawna: ustawa z dnia 27 kwietnia 2001 r. Prawo ochrony środowiska, art. 152, ust 6, pkt 1, lit. c)

Niniejsza informacja zawiera wyłącznie dane, które uległy zmianie.

**1) Oznaczenie prowadzącego instalację, jego adres zamieszkania lub siedziby.**

*Brak zmian.*

**2) Adres zakładu, na którego terenie prowadzona jest eksploatacja instalacji.**

*15-005 Białystok, Sienkiewicza 82, gm. Białystok, pow. Białystok*

**3) Rodzaj i zakres prowadzonej działalności, w tym wielkość produkcji lub wielkość świadczonych usług.**

*Usługi telekomunikacyjne, transmisja danych: 1TB/doba.*

**4) Czas funkcjonowania instalacji (dni tygodnia i godziny).**

*Brak zmian.*

**5) Wielkość i rodzaj emisji.**

*Dane przed zmianą:*

L.p.	Nazwa anteny	Wysokość [m n.p.t.]	Rodzaj emisji	Równoważna moc promieniowana izotropowo	Azymut	Kąt pochylenia	Częstotliwość
------	--------------	------------------------	------------------	--	--------	-------------------	---------------

1	11_HV	32,65	PEM	1449 W	0°	0-5°	800 MHz
2	11_HV	32,65	PEM	8714 W	0°	0-5°	2600 MHz
3	12_GHLNT	32,65	PEM	1156 W	0°	0-5°	900 MHz
4	12_GHLNT	32,65	PEM	7168 W	0°	0-5°	1800 MHz
5	12_GHLNT	32,65	PEM	7732 W	0°	0-5°	2100 MHz
6	21_HV	32,65	PEM	1449 W	90°	0-5°	800 MHz
7	21_HV	32,65	PEM	7625 W	90°	0-5°	2600 MHz
8	22_GHLNT	32,65	PEM	1156 W	90°	0-2°	900 MHz
9	22_GHLNT	32,65	PEM	6272 W	90°	0-2°	1800 MHz
10	22_GHLNT	32,65	PEM	5800 W	90°	0-2°	2100 MHz
11	31_GTV	32,65	PEM	2213 W	240°	0-10°	800 MHz
12	31_GTV	32,65	PEM	1762 W	240°	0-10°	900 MHz
13	31_GTV	32,65	PEM	2278 W	300°	0-8°	800 MHz
14	31_GTV	32,65	PEM	1818 W	300°	0-8°	900 MHz
15	32_HL	32,65	PEM	4309 W	239°	2-6°	1800 MHz
16	32_HL	32,65	PEM	4543 W	239°	2-6°	2100 MHz
17	32_HL	32,65	PEM	6155 W	239°	2-6°	2600 MHz
18	32_HL	32,65	PEM	4309 W	301°	2-5°	1800 MHz
19	32_HL	32,65	PEM	4543 W	301°	2-5°	2100 MHz
20	32_HL	32,65	PEM	6155 W	301°	2-5°	2600 MHz
21	33_HN	32,65	PEM	4309 W	239°	2-6°	1800 MHz
22	33_HN	32,65	PEM	4432 W	239°	2-6°	2100 MHz
23	33_HN	32,65	PEM	6155 W	239°	2-6°	2600 MHz
24	33_HN	32,65	PEM	4309 W	301°	2-5°	1800 MHz
25	33_HN	32,65	PEM	4543 W	301°	2-5°	2100 MHz
26	33_HN	32,65	PEM	6155 W	301°	2-5°	2600 MHz
27	RL1	30,5	PEM	7079 W	27°		80 GHz
28	RL2	30,5	PEM	1514 W	172°		80 GHz
29	RL3	30	PEM	1514 W	190°		80 GHz
30	RL4	30	PEM	1413 W	245°		80 GHz
31	RL5	30,5	PEM	1413 W	303°		80 GHz

## Dane po zmianie:

L.p.	Nazwa anteny	Wysokość [m n.p.t.]	Rodzaj emisji	Równoważna moc promieniowana izotropowo	Azymut	Kąt pochylecia	Częstotliwość
1	11_HV	32,65	PEM	2897 W	0°	0-10°	800 MHz
2	11_HV	32,65	PEM	8714 W	0°	0-10°	2600 MHz
3	12_GHLNT	32,65	PEM	1541 W	0°	0-10°	900 MHz
4	12_GHLNT	32,65	PEM	8960 W	0°	0-10°	1800 MHz
5	12_GHLNT	32,65	PEM	9666 W	0°	0-10°	2100 MHz
6	21_HV	32,65	PEM	2897 W	90°	0-10°	800 MHz
7	21_HV	32,65	PEM	8714 W	90°	0-10°	2600 MHz
8	22_GHLNT	32,65	PEM	1541 W	90°	0-10°	900 MHz
9	22_GHLNT	32,65	PEM	8960 W	90°	0-10°	1800 MHz
10	22_GHLNT	32,65	PEM	9666 W	90°	0-10°	2100 MHz
11	31_GTV	32,65	PEM	4425 W	240°	0-10°	800 MHz
12	31_GTV	32,65	PEM	2351 W	240°	0-10°	900 MHz
13	31_GTV	32,65	PEM	4556 W	300°	0-10°	800 MHz

14	31_GTV	32,65	PEM	2425 W	300°	0-10°	900 MHz
15	32_HL	32,65	PEM	5386 W	239°	2-12°	1800 MHz
16	32_HL	32,65	PEM	5678 W	239°	2-12°	2100 MHz
17	32_HL	32,65	PEM	6155 W	239°	2-12°	2600 MHz
18	32_HL	32,65	PEM	5386 W	301°	2-12°	1800 MHz
19	32_HL	32,65	PEM	5678 W	301°	2-12°	2100 MHz
20	32_HL	32,65	PEM	6155 W	301°	2-12°	2600 MHz
21	33_HN	32,65	PEM	5386 W	239°	2-12°	1800 MHz
22	33_HN	32,65	PEM	5540 W	239°	2-12°	2100 MHz
23	33_HN	32,65	PEM	6155 W	239°	2-12°	2600 MHz
24	33_HN	32,65	PEM	5386 W	301°	2-12°	1800 MHz
25	33_HN	32,65	PEM	5678 W	301°	2-12°	2100 MHz
26	33_HN	32,65	PEM	6155 W	301°	2-12°	2600 MHz
27	RL1	30	PEM	1413 W	245°		80 GHz

**6) Opis stosowanych metod ograniczania wielkości emisji.**

*Brak zmian.*

**7) Informacja, czy stopień ograniczania wielkości emisji jest zgodny z obowiązującymi przepisami.**

*Stopień ograniczenia wielkości emisji jest zgodny z obowiązującymi przepisami.*

**8) (uchylony)**

*-/-*

**9) Sprawozdanie z wykonanych pomiarów poziomów pól EM, o których mowa w art. 122a ust. 1 pkt 1.**

*Sprawozdanie nr 28/12/OŚ/2022 – P4-W z dnia 5 gru 2022, Nr akredytacji PCA – AB 1630.*

Koordynator OŚ





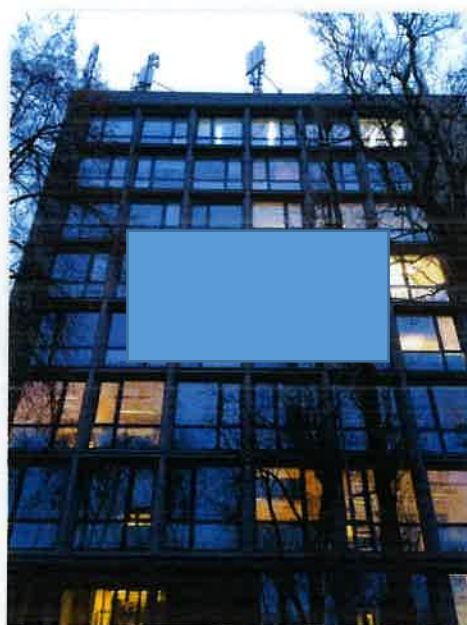
Laboratorium EMVO Sp. J. Urbański, Pawelak  
ul. Jasna 1  
00-013 Warszawa

tel. +48 22 780 29 64  
e-mail: laboratorium@emvo.pl



AB 1630

### Sprawozdanie z pomiarów pól elektromagnetycznych - środowisko nr 28/12/OŚ/2022– P4-W



<b>Nr i nazwa stacji</b>	BIA1023A	
<b>Adres</b>	Białystok, Sienkiewicza 82, pow. Białystok, woj. podlaskie	
<b>Opracowanie</b>	[Redacted]	Specjalista ds. pomiarów
<b>Autoryzacja</b>		Kierownik Laboratorium
<b>Podpis</b>	[Redacted]	
<b>Data</b>	2022-12-05	

## Spis treści

1. Informacje ogólne.....	3
2. Podstawa prawna.....	3
3. Opis pomiarów.....	4
4. Zróżnicowanie dopuszczalne poziomy pól elektromagnetycznych.....	5
5. Charakterystyka źródeł PEM.....	5
6. Wyniki pomiarów.....	5
7. Stwierdzenie zgodności .....	7
8. Oświadczenie.....	9
9. Spis załączników.....	9

## 1. Informacje ogólne.

<b>Zleceniodawca</b>	P4 sp. z o.o., ul. Wynałazek 1, 02-677 Warszawa osoba udzielająca informacji- [REDAKTOWANE]
<b>Istotne informacje dostarczone przez klienta</b>	komplet informacji niezbędnych do wykonania pomiarów i opracowania sprawozdania
<b>Dane otrzymane od klienta mogące mieć wpływ na ważność wyników</b>	Dane anten sektorowych, dane anten radioliniowych, parametry pracy instalacji, ustawienie pochylenia anten
<b>Prowadzący instalację</b>	P4 sp. z o.o., ul. Wynałazek 1, 02-677 Warszawa
<b>Lokalizacja obiektu</b>	Białystok, Sienkiewicza 82, pow. Białystok, woj. podlaskie
<b>Miejsce instalacji anten</b>	Dach budynku
<b>Miejsce instalacji urządzeń</b>	Outdoor
<b>Osoby wykonujące pomiar</b>	[REDAKTOWANE]
<b>Data wykonania pomiaru</b>	05.12.2022
<b>Temperatura na początku pomiaru [°C]</b>	0,2
<b>Temperatura na koniec pomiaru [°C]</b>	0,3
<b>Warunki atmosferyczne</b>	Brak opadów
<b>Wilgotność na początku pomiaru [%]</b>	80,0
<b>Wilgotność na koniec pomiaru [%]</b>	80,0
<b>Godzina na początku pomiaru</b>	15:51
<b>Godzina na koniec pomiaru</b>	18:15
<b>Inne źródła pól elektromagnetycznych oznaczone na załączniku graficznym</b>	Występują
<b>Parametry pracy instalacji</b>	Tryb eksploatacyjny

## 2. Podstawa prawna.

### 2.1 Normy i rozporządzenia:

- Rozporządzeniem Ministra Klimatu z dnia 17 lutego 2020 r. w sprawie sposobów sprawdzania dotrzymania dopuszczalnych poziomów pól elektromagnetycznych w środowisku (Dz.U. 2020 poz. 258)
- Rozporządzenie Ministra Zdrowia z dnia 17 grudnia 2019 r. w sprawie dopuszczalnych poziomów pól elektromagnetycznych w środowisku (Dz.U. 2019 poz. 2448)
- Obwieszczenie Marszałka Sejmu Rzeczypospolitej Polskiej z dnia 19 lipca 2019 r. w sprawie ogłoszenia jednolitego tekstu ustawy - Prawo ochrony środowiska (Dz.U. 2019 poz. 1396)
- Rozporządzenie Ministra Klimatu i Środowiska z dnia 6 maja 2022 r. zmieniające rozporządzenie w sprawie sposobów sprawdzania dotrzymywania dopuszczalnych poziomów pól elektromagnetycznych w środowisku (Dz.U. 2022 poz. 1121).

„Bez pisemnej zgody Laboratorium niniejsze sprawozdanie nie może być powielane inaczej, jak tylko w całości. Ponadto wyniki dotyczą tylko badanych obiektów przywołanych w niniejszym sprawozdaniu z badań”

### 3. Opis pomiarów

Metodologia pomiarowa	Pomiary w oparciu o Rozporządzeniem Ministra Klimatu z dnia 17 lutego 2020 r. w sprawie sposobów sprawdzania dotrzymania dopuszczalnych poziomów pól elektromagnetycznych w środowisku (Dz.U. 2020 poz. 258) oraz Rozporządzenie Ministra Klimatu i Środowiska z dnia 6 maja 2022 r. zmieniające rozporządzenie w sprawie sposobów sprawdzania dotrzymywania dopuszczalnych poziomów pól elektromagnetycznych w środowisku (Dz.U. 2022 poz. 1121).
Cel badań	Określenie wartości natężenia pola elektrycznego w miejscach dostępnych dla ludności.
Opis zestawu pomiarowego	Miernik Narda NBM 520, Sonda EF 9091, o zakresie pomiarowym 0,7 V/m 300V/m pracująca w paśmie 80 MHz – 90 GHz, świadectwo wydane przez Laboratorium Wzorców i Metrologii Pola Elektromagnetycznego, Instytut Telekomunikacji, Teleinformatyki i Akustyki Politechniki Wrocławskiej, numer świadectwa: LWIMP/W/081/21, świadectwo ważne do 11.03.2023r. Miernik Narda NBM 520, Sonda EF 9091 pracująca w zakresie temperatury -10°C - +50°C oraz wilgotności 5% - 95%. Niepewność rozszerzona 59,8% przy poziomie ufności 95% z uwzględnieniem współczynnika rozszerzenia k=2.
Wyposażenie pomocnicze	Termohigrometr Bestone, Nr. inwentarzowy 07/WL, typ: GM1362-EN-00, nr identyfikacyjny 1222436, świadectwo wzorcowania z dn. 03.04.2017r. wydane przez Laboratorium Pomiarowe "MUTECH". Przymiar wstępowy STABILA, Nr. inwentarzowy 18/WL, nr seryjny 10721, świadectwo wzorcowania nr. 6W1/1551/17 z dn. 19.06.2017r. wydane przez Zespół Laboratoriów wzorcujących Okręgowego Urzędu Miar w Gdańsku. GPS Garmin 64s okresowo sprawdzany w punktach osnowy geodezyjnej klasy 3 na podstawie licencji punktu, zgodnie z procedurą sprawdzeń okresowych IS/PO-16-11/03.
Pomiary zostały wykonane	<ol style="list-style-type: none"><li>1. na głównych i pomocniczych kierunkach pomiarowych, na kierunkach zbliżonych do azymutów anten oraz w dodatkowych pionach pomiarowych zgodnie z wymaganiami pkt 12, 13, 14 i 19 Rozporządzenia Ministra Klimatu z dnia 17 lutego 2020 r. (Dz. U. 2020, poz. 258) oraz Rozporządzenia Ministra Klimatu i Środowiska z dnia 6 maja 2022 r. zmieniającego rozporządzenie w sprawie sposobów sprawdzania dotrzymywania dopuszczalnych poziomów pól elektromagnetycznych w środowisku (Dz.U. 2022 poz. 1121).</li><li>2. na obszarze pomiarowym, dla którego, na podstawie uprzednio przeprowadzonych obliczeń stwierdzono w miejscach dostępnych dla ludności występowanie pól elektromagnetycznych o najwyższym poziomie, które pochodzą z badanej instalacji zgodnie z wymaganiami pkt 5 ppkt 2 oraz pkt 13 ppkt 1 Rozporządzenia Ministra Klimatu z dnia 17 lutego 2020 r. w sprawie sposobów sprawdzania dotrzymania dopuszczalnych poziomów pól elektromagnetycznych w środowisku (Dz. U. 2020, poz. 258) oraz Rozporządzenia Ministra Klimatu i Środowiska z dnia 6 maja 2022 r. zmieniającego rozporządzenie w sprawie sposobów sprawdzania dotrzymywania dopuszczalnych poziomów pól elektromagnetycznych w środowisku (Dz.U. 2022 poz. 1121). Wyniki obliczeń nie uwzględniały parametrów pracy instalacji innych operatorów występujących na obiekcie bądź w obszarze pomiarowym.</li><li>3. w miejscach dostępnych dla ludności.</li><li>4. miejsca niedostępne podczas wykonywania pomiarów wskazane zostały w pkt 6 (tabeli wyniki pomiarów).</li></ol>

Szczególne warunki podczas wykonywanie pomiarów

Pomiary wykonane zostały podczas obowiązywania w kraju stanu zagrożenia epidemicznego, zgodnie z art. 122a ust. 1b Ustawy z dnia 27 kwietnia 2001 r. – Prawo ochrony środowiska (Dz. U. z 2019 r. poz. 1396, z późn. zm.9)).

Warunki pracy urządzeń nadawczych

Tryb pracy eksploatacyjny.

#### 4. Zróżnicowanie dopuszczalne poziomy pól elektromagnetycznych.

Zakresy znajdują się w Dzienniku Ustaw z dnia 17 grudnia 2019 r. przedstawione są w tabeli nr 2 (Dz. U. z 2019r. poz. 2448).

Parametr fizyczny	Składowa elektryczna E (V/m)	Składowa magnetyczna H (A/m)	Gęstość mocy S (W/m <sup>2</sup> )
Zakres Częstotliwości pola elektromagnetycznego			
od 400 MHz do 2000 MHz	$1,375 \times f^{0,5}$	$0,0037 \times f^{0,5}$	$f / 200$
od 2 GHz do 300 GHz	61	0,16	10

#### 5. Charakterystyka źródeł PEM.

Zgodnie z informacją otrzymaną od Klienta pomiary zostały wykonane przy ustawieniach pochylenia anten zgodnych z pkt. 13, ppkt 2 Rozporządzenia Ministra Klimatu z dnia 17 lutego 2020 roku.

Tabela 1. Anteny sektorowe - dane otrzymane od klienta

Charakterystyka promieniowania		kierunkowa									
Rzeczywisty czas pracy [h/dobę]		24									
Rodzaj wytwarzanego pola		stacjonarne									
L	Wyszczególnienie	sektor 1					sektor 2				
p											
<b>I Nadajnik stacji bazowej:</b>											
1	Typ / Producent	RBS / SRAN Ericsson									
2	Częstotliwość (pasmo) MHz	2600	800	2100	1800	900	2600	800	2100	1800	900
3	Maksymalna moc nadawana na sektor [dBm]	52,04	49,03	53,01	53,01	46,02	52,04	49,03	53,01	53,01	46,02
<b>II Obciążenie:</b>											
1	Typ anteny	Huawei ATR4518R4		Huawei ATR4518R6			Huawei ATR4518R4		Huawei ATR4518R6		
2	Producent anteny	Huawei		Huawei			Huawei		Huawei		
3	Nazwa anteny	11_HV	11_HV	12_GHLN T	12_GHLN T	12_GHLN T	21_HV	21_HV	22_GHLN T	22_GHLN T	22_GHLN T
4	Ilość anten	1		1			1		1		
5	Azymut	0					90				
6	Zakres kątów pochylenia anten [°]	0,00-10,00					0,00-10,00				
7	Wysokość zainst. n.p.t. [m]	32,65					32,65				
8	EIRP [W]	11611		20167			11611		20167		

Charakterystyka promieniowania	kierunkowa
Rzeczywisty czas pracy [h/dobę]	24

„Bez pisemnej zgody Laboratorium niniejsze sprawozdanie nie może być powielane inaczej, jak tylko w całości. Ponadto wyniki dotyczą tylko badanych obiektów przywołanych w niniejszym sprawozdaniu z badań”



Rodzaj wytwarzanego pola		stacjonarne							
Lp	Wyszczególnienie	sektor 3						sektor 4	
I	<b>Nadajnik stacji bazowej:</b>								
1	Typ / Producent	RBS / SRAN Ericsson							
2	Częstotliwość (pasmo) MHz	2600	2100	1800	2600	2100	1800	900	800
3	Maksymalna moc nadawana na sektor [dBm]	49,03	50	50	49,03	50	50	46,02	49,03
II	<b>Obciążenie:</b>								
1	Typ anteny	Huawei AMB4519R6			Huawei AMB4519R6			Huawei AMB4519R0	
2	Producent anteny	Huawei			Huawei			Huawei	
3	Nazwa anteny	32_HL	32_HL	32_HL	33_HN	33_HN	33_HN	31_GTV	31_GTV
4	Ilość anten	1			1			1	
5	Azymut	239						240	
6	Zakres kątów pochYLENIA anten [°]	2,00-12,00						0,00-10,00	
7	Wysokość zainst. n.p.t. [m]	32,65						32,65	
8	EIRP [W]	17219			17081			6776	

Charakterystyka promieniowania		kierunkowa							
Rzeczywisty czas pracy [h/dobę]		24							
Rodzaj wytwarzanego pola		stacjonarne							
Lp	Wyszczególnienie	sektor 5				sektor 6			
I	<b>Nadajnik stacji bazowej:</b>								
1	Typ / Producent	RBS / SRAN Ericsson							
2	Częstotliwość (pasmo) MHz	900	800	2600	2100	1800	2600	2100	1800
3	Maksymalna moc nadawana na sektor [dBm]	46,02	49,03	49,03	50	50	49,03	50	50
II	<b>Obciążenie:</b>								
1	Typ anteny	Huawei AMB4519R0			Huawei AMB4519R6			Huawei AMB4519R6	
2	Producent anteny	Huawei			Huawei			Huawei	
3	Nazwa anteny	31_GTV	31_GTV	32_HL	32_HL	32_HL	33_HN	33_HN	33_HN
4	Ilość anten	1		1			1		
5	Azymut	300			301				
6	Zakres kątów pochYLENIA anten [°]	0,00-10,00			2,00-12,00				
7	Wysokość zainst. n.p.t. [m]	32,65			32,65				
8	EIRP [W]	6981			17219			17219	

Tabela 2. Anteny radioliniowe- dane otrzymane od klienta

Charakterystyka promieniowania				kierunkowa			
Rzeczywisty czas pracy [h/dobę]				24			
Rodzaj wytwarzanego pola				stacjonarne			
Lp	Linia radiowa			Antena			
	typ/producent	częstotliwość pracy [GHz]	moc wyjściowa [dBm]	typ/producent	średnica anteny [m]	azymut [°]	wysokość zainstal. [m]
1	OPTIX RTN/HUAWEI	80	18	VHLP1-80/Andrew	0,3	245	30,00

„Bez pisemnej zgody Laboratorium niniejsze sprawozdanie nie może być powielane inaczej, jak tylko w całości. Ponadto wyniki dotyczą tylko badanych obiektów przywołanych w niniejszym sprawozdaniu z badań”

## 6. Wyniki pomiarów.

Wyniki pomiarów pól elektromagnetycznych dla celów ochrony środowiska przedstawia poniższa tabela. Piony pomiarowe zostały przedstawione w zał. 2.

Nr PP	Pole-E [V/m]	Pole-E, +U [V/m]	Pole-H [A/m]	Pole-H +U [A/m]	Wys. pomiaru [m]	Opis pionu	Uwagi	WM <sub>E</sub>	WM <sub>H</sub>
1	2,6	4,15	0,007	0,011	0,3-2,0	N:53°08'21.5" E:23°10'14.3"	otoczenie stacji bazowej - 50m wzdłuż gł. osi promieniowania - GKP	0,148	0,151
2	2,5	4,00	0,007	0,011	0,3-2,0	N:53°08'24.6" E:23°10'14.4"	otoczenie stacji bazowej - 150m wzdłuż gł. osi promieniowania - GKP	0,143	0,145
3	1,8	2,88	0,005	0,008	0,3-2,0	N:53°08'26.3" E:23°10'14.3"	otoczenie stacji bazowej - 200m wzdłuż gł. osi promieniowania - GKP	0,103	0,105
4	2,4	3,84	0,006	0,010	0,3-2,0	N:53°08'28.8" E:23°10'14.6"	otoczenie stacji bazowej - 300m wzdłuż gł. osi promieniowania - GKP	0,137	0,139
5	2,7	4,31	0,007	0,011	0,3-2,0	N:53°08'30.1" E:23°10'14.8"	otoczenie stacji bazowej - 330m wzdłuż gł. osi promieniowania - GKP	0,154	0,157
6	1,9	3,04	0,005	0,008	0,3-2,0	N:53°08'19.7" E:23°10'17.1"	otoczenie stacji bazowej - 50m wzdłuż gł. osi promieniowania - GKP	0,108	0,110
7	2,4	3,84	0,006	0,010	0,3-2,0	N:53°08'19.7" E:23°10'19.3"	otoczenie stacji bazowej - 100m wzdłuż gł. osi promieniowania - GKP	0,137	0,139
8	3,1	4,95	0,008	0,013	0,3-2,0	N:53°08'19.5" E:23°10'22.6"	otoczenie stacji bazowej - 150m wzdłuż gł. osi promieniowania - GKP	0,177	0,180
9	2,7	4,31	0,007	0,011	0,3-2,0	N:53°08'19.5" E:23°10'25.5"	otoczenie stacji bazowej - 200m wzdłuż gł. osi promieniowania - GKP	0,154	0,157
10	2,4	3,84	0,006	0,010	0,3-2,0	N:53°08'19.3" E:23°10'27.6"	otoczenie stacji bazowej - 250m wzdłuż gł. osi promieniowania - GKP	0,137	0,139
11	1,7	2,72	0,005	0,007	0,3-2,0	N:53°08'19.2" E:23°10'29.9"	otoczenie stacji bazowej - 300m wzdłuż gł. osi promieniowania - GKP	0,097	0,099
12	1,8	2,88	0,005	0,008	0,3-2,0	N:53°08'19.1" E:23°10'11.9"	otoczenie stacji bazowej - 50m wzdłuż gł. osi promieniowania - GKP	0,103	0,105
13	2,6	4,15	0,007	0,011	0,3-2,0	N:53°08'18.4" E:23°10'09.4"	otoczenie stacji bazowej - 100m wzdłuż gł. osi promieniowania - GKP	0,148	0,151
14	1,1	1,76	0,003	0,005	0,3-2,0	N:53°08'15.3" E:23°09'59.5"	otoczenie stacji bazowej - 300m wzdłuż gł. osi promieniowania - GKP	0,063	0,064
15	1,0	1,60	0,003	0,004	0,3-2,0	N:53°08'14.5" E:23°09'57.9"	otoczenie stacji bazowej - 330m wzdłuż gł. osi promieniowania - GKP	0,057	0,058
16	2,4	3,84	0,006	0,010	0,3-2,0	N:53°08'20.8" E:23°10'10.7"	otoczenie stacji bazowej - 50m wzdłuż gł. osi promieniowania - GKP	0,137	0,139
17	2,3	3,68	0,006	0,010	0,3-2,0	N:53°08'21.4" E:23°10'14.5"	otoczenie stacji bazowej - GKP	0,131	0,134
18	1,3	2,08	0,003	0,006	0,3-2,0	N:53°08'17.7" E:23°10'13.7"	otoczenie stacji bazowej - GKP	0,074	0,075
19	1,5	2,40	0,004	0,006	0,3-2,0	N:53°08'17.7" E:23°10'12.7"	otoczenie stacji bazowej - GKP	0,086	0,087
20	2,8	4,47	0,007	0,012	0,3-2,0	N:53°08'22.2" E:23°10'09.2"	otoczenie stacji bazowej - GKP	0,160	0,163
21	1,2	1,92	0,003	0,005	0,3-2,0	N:53°08'22.1" E:23°10'18.5"	otoczenie stacji bazowej - GKP	0,068	0,070
22	1,1	1,76	0,003	0,005	0,3-2,0	N:53°08'21.3" E:23°10'19.6"	otoczenie stacji bazowej - GKP	0,063	0,064
23	0,8	1,28	0,002	0,003	0,3-2,0	N:53°08'18.7" E:23°10'18.8"	otoczenie stacji bazowej - GKP	0,046	0,046
24	2,0	3,20	0,005	0,008	0,3-2,0	N:53°08'19.7" E:23°10'11.4"	otoczenie stacji bazowej - GKP	0,114	0,116
A	2,4	3,84	0,006	0,010	0,3-2,0	N:53°08'20.9" E:23°10'15.6"	Sienkiewicza 84, pomiar przed budynkiem -DPP	0,137	0,139
B	1,8	2,88	0,005	0,008	0,3-2,0	N:53°08'20.4" E:23°10'19.5"	Złota 4, pomiar przed budynkiem - DPP	0,103	0,105
C	2,1	3,36	0,006	0,009	0,3-2,0	N:53°08'19.5" E:23°10'21.3"	Złota 6, pomiar przed budynkiem - DPP	0,120	0,122
D	2,3	3,68	0,006	0,010	0,3-2,0	N:53°08'19.9" E:23°10'22.8"	Złota 7, pomiar przed budynkiem - DPP	0,131	0,134

E	1,2	1,92	0,003	0,005	0,3-2,0	N:53°08'19.2" E:23°10'24.1"	Złota 9, pomiar przed budynkiem - DPP	0,068	0,070
F	2,7	4,31	0,007	0,011	0,3-2,0	N:53°08'19.8" E:23°10'25.8"	Jana III Sobieskiego 11, pomiar przed budynkiem -DPP	0,154	0,157
G	2,4	3,84	0,006	0,010	0,3-2,0	N:53°08'19.4" E:23°10'35.2"	Jana III Sobieskiego 26, pomiar przed budynkiem -DPP	0,137	0,139
H	0,8	1,28	0,002	0,003	0,3-2,0	N:53°08'17.1" E:23°10'15.2"	Łąkowa 18, pomiar przed budynkiem -DPP	0,046	0,046
I	1,7	2,72	0,005	0,007	0,3-2,0	N:53°08'18.8" E:23°10'30.9"	Jana III Sobieskiego 26a, pomiar przed budynkiem -DPP	0,097	0,099
J	2,7	4,31	0,007	0,011	0,3-2,0	N:53°08'18.8" E:23°10'26.8"	Jana III Sobieskiego 24c, pomiar przed budynkiem -DPP	0,154	0,157
K	2,4	3,84	0,006	0,010	0,3-2,0	N:53°08'23.5" E:23°10'17.3"	Sienkiewicza 77, pomiar przed budynkiem -DPP	0,137	0,139
L	2,3	3,68	0,006	0,010	0,3-2,0	N:53°08'22.5" E:23°10'15.4"	Sienkiewicza 71/73, pomiar przed budynkiem -DPP	0,131	0,134
Ł	2,6	4,15	0,007	0,011	0,3-2,0	N:53°08'21.6" E:23°10'14.3"	Sienkiewicza 69, pomiar przed budynkiem -DPP	0,148	0,151
M	2,0	3,20	0,005	0,008	0,3-2,0	N:53°08'20.8" E:23°10'13.2"	Sienkiewicza 67, pomiar przed budynkiem -DPP	0,114	0,116
N	1,4	2,24	0,004	0,006	0,3-2,0	N:53°08'25.1" E:23°10'14.1"	Jagienki 20, pomiar przed budynkiem -DPP	0,080	0,081
O	2,2	3,52	0,006	0,009	0,3-2,0	N:53°08'28.1" E:23°10'14.2"	Fabryczna 22, pomiar przed budynkiem -DPP	0,126	0,128
P	2,3	3,68	0,006	0,010	0,3-2,0	N:53°08'28.8" E:23°10'15.8"	Fabryczna 24, pomiar przed budynkiem -DPP	0,131	0,134
R	2,0	3,20	0,005	0,008	0,3-2,0	N:53°08'20.1" E:23°10'08.3"	Sienkiewicza 65, pomiar przed budynkiem -DPP	0,114	0,116
S	2,0	3,20	0,005	0,008	0,3-2,0	N:53°08'23.7" E:23°10'04.7"	Fabryczna 39, pomiar przed budynkiem -DPP	0,114	0,116
T	2,5	4,00	0,007	0,011	0,3-2,0	N:53°08'23.3" E:23°10'04.1"	Fabryczna 37a, pomiar przed budynkiem -DPP	0,143	0,145
U	1,6	2,56	0,004	0,007	0,3-2,0	N:53°08'25.3" E:23°09'59.5"	Ciepła 32, pomiar przed budynkiem - DPP	0,091	0,093
W	1,7	2,72	0,005	0,007	0,3-2,0	N:53°08'17.8" E:23°10'07.2"	Sienkiewicza 63, pomiar przed budynkiem -DPP	0,097	0,099
X	1,5	2,40	0,004	0,006	0,3-2,0	N:53°08'16.5" E:23°10'05.5"	Sienkiewicza 59, pomiar przed budynkiem -DPP	0,086	0,087
Y	1,7	2,72	0,005	0,007	0,3-2,0	N:53°08'15.5" E:23°10'00.4"	Ogrodowa 4, pomiar przed budynkiem -DPP	0,097	0,099
Z	0,8	1,28	0,002	0,003	0,3-2,0	N:53°08'16.6" E:23°10'09.6"	Starobojarska 32, pomiar przed budynkiem -DPP	0,046	0,046
A1	1,8	2,88	0,005	0,008	0,3-2,0	N:53°08'18.6" E:23°10'11.4"	Sienkiewicza 70, pomiar przed budynkiem -DPP	0,103	0,105
B1	1,7	2,72	0,005	0,007	0,3-2,0	N:53°08'18.3" E:23°10'10.7"	Sienkiewicza 68, pomiar przed budynkiem -DPP	0,097	0,099
C1	1,5	2,40	0,004	0,006	0,3-2,0	N:53°08'18.1" E:23°10'10.5"	Sienkiewicza 66, pomiar przed budynkiem -DPP	0,086	0,087
D1	1,6	2,56	0,004	0,007	0,3-2,0	N:53°08'24.2" E:23°10'01.8"	Fabryczna 37, pomiar przed bramą - DPP	0,091	0,093
E1	0,8	1,28	0,002	0,003	0,3-2,0	N:53°08'16.6" E:23°10'15.4"	Łąkowa 19, pomiar przed budynkiem -DPP	0,046	0,046
F1	0,8	1,28	0,002	0,003	0,3-2,0	N:53°08'15.7" E:23°10'13.8"	Jana III Sobieskiego 1, pomiar przed budynkiem -DPP	0,046	0,046
G1	0,9	1,44	0,002	0,004	0,3-2,0	N:53°08'18.7" E:23°10'14.8"	Łąkowa 16a, pomiar przed budynkiem -DPP	0,051	0,052

Wynik pomiaru pole - E [V/m] - maksymalna wartość chwilowa zmierzona w danym pionie pomiarowym (uśredniona na podstawie punktu 11 Rozporządzenia Ministra Zdrowia).

Przyjęto najniższą dopuszczalną wartość składowej elektrycznej pola dla objętego pomiarami zakresu częstotliwości  $\min(ME_{gr}) = 28 \text{ V/m}$  oraz składowej magnetycznej  $\min(MH_{gr}) = 0,073 \text{ A/m}$ .

\* - wartość zmierzona poniżej zakresu akredytacji. Do obliczeń przyjęto wartość zgodną z dolną granicą akredytowanego zakresu pomiarowego metody.

GKP - główne kierunki pomiarowe

PKP - pomocnicze kierunki pomiarowe

DPP - dodatkowe punkty pomiarowe

„Bez pisemnej zgody Laboratorium niniejsze sprawozdanie nie może być powielane inaczej, jak tylko w całości. Ponadto wyniki dotyczą tylko badanych obiektów przywołanych w niniejszym sprawozdaniu z badań”

PP - pion pomiarowy

U - niepewność pomiarowa rozszerzona, przy poziomie ufności 95%, z uwzględnieniem współczynnika rozszerzenia  $k=2$

WM<sub>E</sub> - wartość wskaźnikowa poziomu emisji pól elektromagnetycznych dla miejsc dostępnych dla ludności dla składowej elektrycznej pola

WM<sub>H</sub> - wartość wskaźnikowa poziomu emisji pól elektromagnetycznych dla miejsc dostępnych dla ludności dla składowej magnetycznej pola

## 7. Stwierdzenie zgodności

Na podstawie wytycznych podanych w Rozporządzeniu Ministra Zdrowia z dnia 17 grudnia 2019 r. w sprawie dopuszczalnych poziomów pól elektromagnetycznych w środowisku (Dz.U. 2019 poz. 2448) oraz sposobów sprawdzania dotrzymania tych poziomów zgodnie z Rozporządzeniem Ministra Klimatu z dnia 17 lutego 2020 r. w sprawie sposobów sprawdzania dotrzymania dopuszczalnych poziomów pól elektromagnetycznych w środowisku (Dz.U. 2020 poz. 258) oraz Rozporządzeniem Ministra Klimatu i Środowiska z dnia 6 maja 2022 r. zmieniającego rozporządzenie w sprawie sposobów sprawdzania dotrzymywania dopuszczalnych poziomów pól elektromagnetycznych w środowisku (Dz.U. 2022 poz. 1121), dotyczących źródła wymagań, które muszą być spełnione, w oparciu o zasadę podejmowania decyzji zgodną z pkt. 26 Rozporządzenia Ministra Klimatu z dnia 17 lutego 2020 r. (Dz.U. 2020 poz. 258), na podstawie wyników pomiarów pól elektromagnetycznych wykonanych w dniu 05.12.2022 stwierdzono, że wszystkie wyniki przeprowadzonych pomiarów w danym obszarze pomiarowym oraz wyznaczone na tej podstawie wskaźniki WME oraz WMH są mniejsze od wartości dopuszczalnych – zgodnie z przepisami wydanymi na podstawie art. 122 ust. 1 ustawy z dnia 27 kwietnia 2001 r. – Prawo ochrony środowiska – załącznikiem do Rozporządzenia Ministra Klimatu i Środowiska z dnia 17 lutego 2020 r. w sprawie sposobów sprawdzania dotrzymywania dopuszczalnych poziomów pól elektromagnetycznych w środowisku (Dz.U. 2020 poz. 258, pkt 26).

## 8. Oświadczenie.

Wyniki badania odnoszą się wyłącznie do badanego obiektu.

Bez pisemnej zgody sprawozdanie nie może być powielane inaczej, jak tylko w całości.

Uwagi i zastrzeżenia przyjmowane są w formie pisemnej w ciągu 14 dni od daty otrzymania sprawozdania.

## 9. Spis załączników.

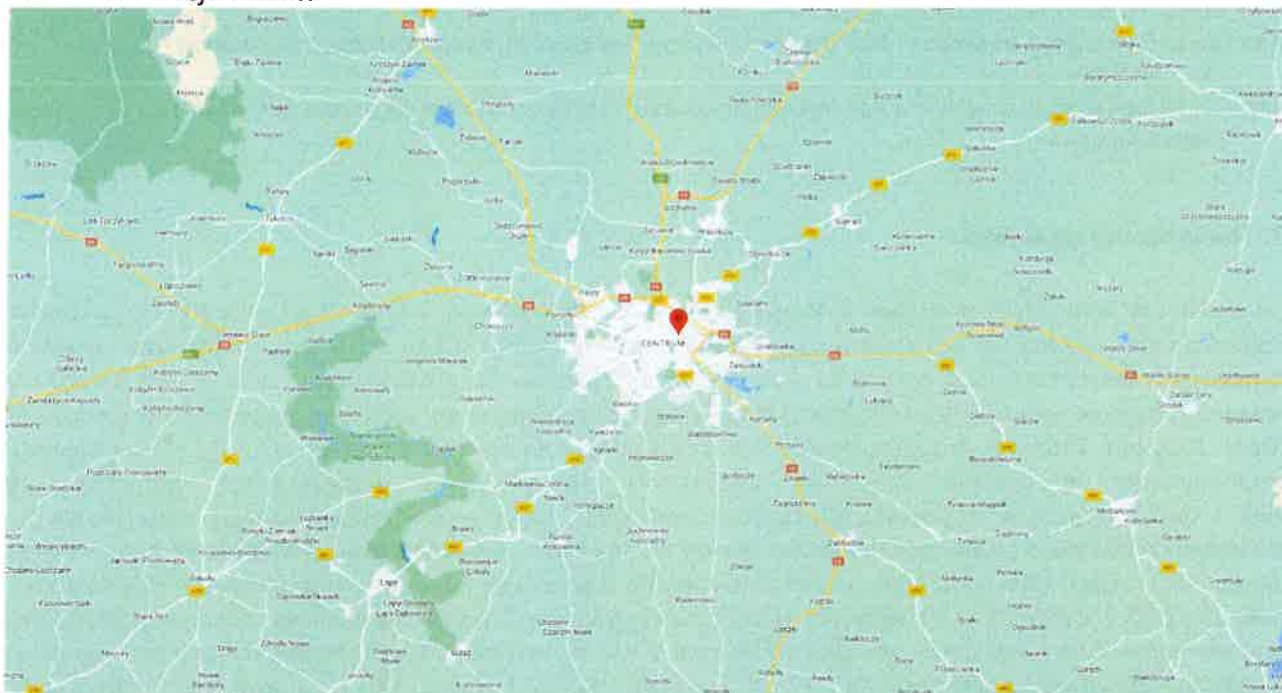
Załącznik 1. Lokalizacja obiektu.

Załącznik 2. Widok pionów pomiarowych

Załącznik 3. Załączniki graficzne

**Koniec sprawozdania**

## Zał. 1. Lokalizacja obiektu




Współrzędne geograficzne	
długość:	23°10'14.10"E
szerokość:	53°08'19.42"N


Załącznik 2. Widok pionów pomiarowych



LEGENDA:

 inna instalacja radiokomunikacyjna

 brak dostępu

 pion pomiaru

 antena sektorowa

 antena radioliowa

Skala: 1:4600



Załącznik 3. Załączniki graficzne.

